

مطالعه ماکروسکوپیک و میکروسکوپیک پلاکهای پیر تهی روده‌ای و ایلثونی گاویش در سنین مختلف

دکتر نعیم آلبیغیش^۱ دکتر روزبه پورکار نستودی^۲

مطالعات نشان داده است که پلاکهای پیر در پستانداران با افزایش سن دچار تحلیل می‌گرددند، ولی گزارش‌های متفاوتی از نظر زمان شروع و روند تحلیل پلاکهای پیر تهی روده‌ای و ایلثونی و در نتیجه حساس شدن پستانداران به عوامل بیماریزا وجود دارد(۱). در این راستا و با توجه به اینکه در رابطه با روند تحلیلی پلاکهای پیر تهی روده‌ای و ایلثونی گاویش هیچ‌گونه اطلاقاتی در دسترس نمی‌باشد، ساختار پلاکهای پیر تهی روده‌ای و ایلثونی گاویش در سنین مختلف مورد مطالعه ماکروسکوپیک و میکروسکوپیک قرار گرفته است.

مواد و روش کار

در این پژوهش، از روده کوچک ۲۸ رأس گاویش در سه رده سنی ۲۴ - ۶ - ۳ - ۲ - ۴ - ۳ سالگی از کشتارگاه صنعتی اهواز نمونه برداری گردید. نمونه‌ها بالاً فاصله جهت ثبوت در فرمالین ۱۰ درصد قرار داده شدند. در بررسی ماکروسکوپیک، طول کل روده و دوازده مشخص گردیده و نظر به اینکه در مشاهدات ماکروسکوپیک همچنان‌که در سیاری از منابع نیز ذکر گردیده مز مشخصی مابین تهی روده‌ای و ایلثونی مشاهده نگردید (۳ و ۴). بنابراین طول تهی روده و ایلثون به صورت توان اندازه‌گیری گردید. پس از آن مجموعه تهی روده و ایلثون به سه قسمت قدامی، میانی و انتهایی تقسیم شد و پلاکهای پیر پیوسته و فرد ایلثونی که در رده سنی ۲۴ - ۶ ماهگی در ناحیه انتهایی مجموعه تهی روده - ایلثون قرار داشت نیز به سه بخش قدامی، میانی و انتهایی تقسیم گردید و پس از آن طول کل پلاک و عرض آن در سه قسمت مذکور اندازه‌گیری گردید. لازم به ذکر است که نمای ماکروسکوپیک هر دو نوع پلاک پیر، قبل از تثبیت با فرمالین بسیار مشخص‌تر بود.

جهت مطالعه میکروسکوپیک از پلاکهای پیر منقطع تهی روده‌ای دو بخش ابتدایی و میانی تهی روده - ایلثون و همچنین از سه بخش پلاک پیر ایلثونی در سنین مختلف نمونه برداری صورت گرفته و به روش معمول تهیه مقاطعه بافتی، برشهای میکروسکوپیک به ضخامت ۵ - ۶ میکرومتر تهیه و مورد رنگ‌آمیزی هماتوکسیلین - اوزرین (H & E) قرار گرفتند. جهت مطالعه هیستومتریک، از عدسی و لنز مدرج و میکروسکوپ المپیوس استفاده گردید.

نتایج

الف - نتایج ماکروسکوپی: میانگین طول کل روده کوچک، دوازده و بخش تهی روده - ایلثون گاویش مورد مطالعه در سنین مختلف در جدول ۱ ارایه شده است و اختلاف معنی‌داری ($P < 0.05$) در سنین مختلف مشاهده نگردید. نتایج ماکروسکوپیک نشان داد که پلاکهای پیر تهی روده‌ای گاویش، بیضی شکل و از سطح مخاط بطور مشخصی بر جسته می‌باشند. و همچنان‌که در جدول ۲ ملاحظه می‌گردد، در تمامی رده‌های سنی میانگین تعداد کل پلاکهای

مجله دانشکده دامپزشکی دانشگاه تهران، دوره ۵۵، شماره ۲، ۶۹ - ۷۳، (۱۳۷۹)

نتایج بدست آمده از این مطالعه نشان داد که روده کوچک گاویش دارای دو نوع پلاک پیر: یکی پلاکهای پیر ناپیوسته تهی روده‌ای و دیگری پلاک - پیر پیوسته و فرد ایلثونی می‌باشد. مطالعات ماکروسکوپیک نشان داد که پلاکهای پیر تهی روده‌ای، به صورت برجستگی‌های بیضی شکل و پراکنده‌ای در سطح مخاط تهی روده - ایلثون در مقابل محل اتصال روده‌بند قرار دارند. تعداد پلاکهای پیر تهی روده‌ای در ثلث ابتدایی تهی روده - ایلثون بیشتر از ثلث انتهایی آن می‌باشد ($P < 0.05$). مساحت این پلاکها در ثلث انتهایی تهی روده - ایلثون در رده سنی ۴ - ۳ سالگی بیشتر از رده سنی ۶ - ۴ ماهگی است ($P < 0.05$). لیکن پلاک پیر ایلثونی، به صورت یک پلاک پیوسته، فرد و زبانی شکل درست در مقابل محل اتصال روده‌بند، در سطح مخاط ایلثون مشاهده گردید. این پلاک در رده سنی ۶ - ۴ ماهگی رشد و تکامل خوبی یافته و در مطالعات ماکروسکوپیک بوضوح قابل مشاهده بود. ولی پس از این سن با کوچک شدن پلاک آثار شروع تحلیل نمایان شده بهنحوی که در سن ۲۴ ماهگی تشخیص ماکروسکوپیک پلاک فقط براساس چیزی‌ای باقیمانده در سطح آن امکان‌پذیر بود. و در سن ۲/۵ سالگی پلاک ایلثونی در مشاهدات ماکروسکوپیک مشاهده نگردید. مطالعات میکروسکوپیک نشان داد که پلاکهای پیر منقطع تهی روده‌ای اجتماعی از فولیکولهای لنفی گلابی شکلی هستند که این فولیکولها عمدتاً در زیر مخاط تهی روده متصرک شده‌اند و تعدادی از آنها به لایه پارین نیز کشیده می‌شوند. فضای بین فولیکولی نسبتاً وسیع این پلاکها توسط یک بافت لنفوئیدی منتشر پر شده است. یافته قابل توجه در رابطه با پلاکهای تهی روده‌ای عدم مشاهده هرگونه تغییرات ساختاری و تحلیلی در سنین مختلف می‌باشد. پلاک پیر پیوسته و فرد ایلثونی اجتماعی از فولیکولهای کیسه‌ای شکلی است که فضای بین فولیکولی کم این پلاک توسط بافت همبند سستی پر شده است. این فولیکولها نیز عمدتاً در زیر مخاط متمرکز بوده و بندرت ممکن است به لایه پارین کشیده شوند. یافته قابل توجه در رابطه با این پلاک مشاهده تغییرات تحلیلی در سنین بعد از ۱۸ ماهگی می‌باشد بهنحوی که در سن ۲/۵ سالگی تعداد و قطر طولی فولیکولها به طور معنی‌داری ($P < 0.05$) کاهش می‌یابد. و در سن ۴ - ۳ سالگی فقط چند فولیکول کوچک و پراکنده‌ای از این پلاک باقی می‌ماند.

واژه‌های کلیدی: پلاکهای پیر، تهی روده، ایلثون، گاویش.

دستگاه ایمنی بدن پس از پوست دومین سد دفاعی بدن را تشکیل می‌دهد(۲). پلاکهای پیر با لوزه‌های روده‌ای که بخش مهمی از این دستگاه را تشکیل می‌دهند از نوع بافت لنفوئیدی مجتمع بدون کپسول می‌باشند که در دیواره تهی روده و ایلثون به ترتیب تشکیل پلاکهای پیر تهی روده‌ای و ایلثونی را می‌دهند(۳).

اخیراً در رابطه با ساختار، عمل و نقش این پلاکها در تولید لنفوسيتها و سیستم ایمنی بدن، مطالعات گسترده‌ای انجام گرفته و به عنوان جایگاهی جهت تولید لنفوسيتها معادل بورس فابریسیوس در پرنده‌گان مطرح شده است(۴).

۱) گروه آموزشی علوم پایه دانشکده دامپزشکی دانشگاه شهید چمران اهواز، اهواز - ایران.

۲) دانش آموخته دانشکده دامپزشکی دانشگاه شهید چمران اهواز، اهواز - ایران.



جدول ۲ - میانگین و انحراف از معیار تعداد کل پلاکهای بی‌بر تهی رودهای در ثلث قدامی، میانی و انتهایی بخش تهی روده - ایلئون در سنین مختلف.

مشخصه مورد	مشخصه مورد	مشخصه مورد	مشخصه مورد
سن	سن	سن	سن
۶-۲۴ ماهگی	۶-۲۴ ماهگی	۶-۲۴ ماهگی	۶-۲۴ ماهگی
۷/۸۱ ± ۲/۶۶	۷/۶ ± ۵/۱	۵/۴۵ ± ۲/۸۸	۵/۱ ± ۲/۳

جدول ۱ - میانگین و انحراف از معیار طول کل روده کوچک، دوازدهه و تهی روده - ایلئون در سنین مختلف

مشخصه مورد	مشخصه مورد	مشخصه مورد	مشخصه مورد
سن	سن	سن	سن
کوچک (مترا)	طول کل روده (مترا)	طول دوازدهه (مترا)	طول تهی روده (مترا)
۲۳/۸۵ ± ۳/۳۴	۰/۹۱ ± ۰/۱۳	۲۲/۹۵ ± ۲/۳۴	۵/۸ ± ۲/۴
۲۴/۷۶ ± ۳/۹۸	۱/۱۶ ± ۰/۱۵	۲۳/۶۰ ± ۲/۸۵	۸/۵ ± ۳/۵
۲۳/۴۹ ± ۳/۴۲	۱/۱۹ ± ۰/۲۹	۲۲/۳ ± ۲/۱	۹/۷ ± ۱/۲۴

جدول ۳ - میانگین و انحراف از معیار مساحت پلاکهای بی‌بر تهی رودهای در ثلث قدامی، میانی و انتهایی بخش تهی روده - ایلئون روده باریک گاویش در سنین مختلف (برحسب سانتیمتر مربع)

مشخصه مورد	مشخصه مورد	مشخصه مورد	مشخصه مورد
سن	سن	سن	سن
۶-۲۴ ماهگی	۶-۲۴ ماهگی	۶-۲۴ ماهگی	۶-۲۴ ماهگی
۱۰/۸۲ ± ۳/۲۴	۱۰/۷ ± ۵/۵۲	۸/۲۸ ± ۲/۷	۷/۳ ± ۰/۹
۸/۶۸ ± ۴/۷۷	۱۰/۵ ± ۴/۷۷	۱۰/۸ ± ۶/۸۱	۱/۳ ± ۰/۹
۱۱/۴۸ ± ۳/۷۳	۱۱/۷ ± ۶	۱۵/۳۱ ± ۷/۴۶	۴/۶ ± ۱/۲

جدول ۴ - میانگین و انحراف از معیار ابعاد پلاک پی‌بر پیوسته ایلئون روده کوچک گاویش در رده سنی ۶-۲۴ ماهگی (برحسب سانتیمتر)

عرض	طول	مشخصه مورد	مشخصه مورد
سن	سن	سن	سن
۶-۲۴ ماهگی	۶-۲۴ ماهگی	۶-۲۴ ماهگی	۶-۲۴ ماهگی
۲۴/۱۹ ± ۴۰/۴۹	۴/۶ ± ۱/۲	۱/۳ ± ۰/۹	۶/۸ ± ۱/۲

جدول ۵ - میانگین و انحراف از معیار تعداد فولیکولهای لنفی در ۱۰ میلیمتر مربع از پلاکهای بی‌بر تهی رودهای ثلث قدامی، میانی و انتهایی و میانگین و انحراف از معیار قطر طولی فولیکولهای لنفی (برحسب میکرومتر) در سنین مختلف.

مشخصه مورد	مشخصه مورد	مشخصه مورد	مشخصه مورد
سن	سن	سن	سن
۶-۲۴ ماهگی	۶-۲۴ ماهگی	۶-۲۴ ماهگی	۶-۲۴ ماهگی
۵/۳ ± ۰/۹	۴/۳ ± ۰/۸	۵ ± ۰/۱	۵/۳ ± ۰/۹
۵/۶ ± ۱/۲	۵/۶ ± ۱/۵	۵/۳ ± ۰/۹	۵/۳ ± ۰/۹
۵ ± ۱	۴/۶ ± ۱/۱	۵/۳ ± ۰/۹	۵/۳ ± ۰/۹

بی‌بر تهی روده در ثلث قدامی تهی روده - ایلئون نسبت به ثلث انتهایی بیشتر بوده و این اختلاف با $P < 0/05$ معنی دار می‌باشد. همچنین با توجه به جدول ۳ میانگین مساحت این پلاکها در ثلث انتهایی تهی روده - ایلئون، در رده سنی ۴-۶ ماهگی $8/22 \pm 3/7$ سانتیمتر مربع بیشتر می‌باشد نسبت به رده سنی ۲-۴ ماهگی $15/31 \pm 4/6$ سانتیمتر مربع. که این اختلاف با $P < 0/05$ معنی دار می‌باشد. در مشاهدات ماکروسوکوپیک هیچ‌گونه اثری از تحلیل در پلاکهای بی‌بر منقطع تهی رودهای در رده‌های سنی مختلف مشاهده نگردید.

یافته قابل توجه در این پژوهش وجود پلاک پی‌بر طویل و منفرد به طول متوسط $24/19 \pm 40/49$ سانتیمتر در انتهای بخش تهی روده - ایلئون روده ۱۸ ماهگی به صورت کامل وجود داشته و پس از این سن تحلیل آن آغاز می‌گردد به طوری که در سن ۲۴ ماهگی فقط چینهای سطح پلاک قابل مشاهده بود. و در سن حدود ۲/۵ سالگی تشخیص ماکروسوکوپیک پلاک غیرممکن بود. با توجه به ابعاد اندازه‌گیری شده که در جدول ۴ آمده، پلاک ایلئونی، زبانی شکل توصیف گردید.

ب - نتایج میکروسکوپی: مطالعات میکروسکوپیک نشان داد که هر یک از پلاکهای بی‌بر منقطع تهی رودهای یک بافت لنفوئیدی مجتمع بدون کپسولی است که از فولیکولهای لنفی هرمی شکلی تشکیل شده است. این فولیکولها عمدتاً در طبقه زیر مخاطی مرکز می‌باشند ولی تعدادی از آنها به لایه پارین و تا زیر بافت پوششی متعدد شده‌اند. فضای بین فولیکولی نسبتاً وسیع این پلاکها





تصویر ۲ - ساختار بافتی پلاک پی بر تهی رودهای در رده سنی ۳ - ۲ سالگی (X4, H & E). ساختار بافتی کامل پلاک در این سن وامتداد آن به لایه پارین قابل توجه است.



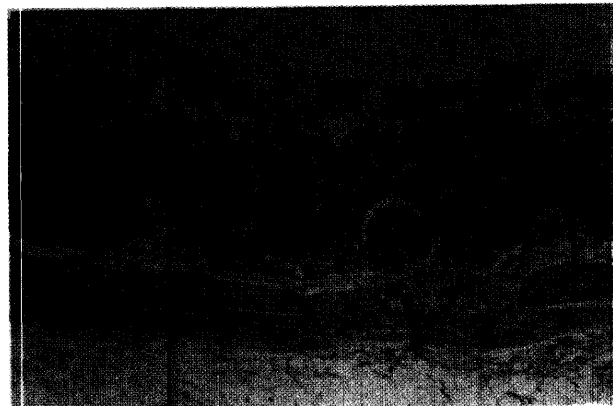
تصویر ۱ - ساختار بافتی پلاک پی بر تهی رودهای در رده سنی ۱۸ - ۶ ماهگی (X4, H & E). فولیکولهای گلابی شکل این پلاک و بافت لنفوئیدی منتشر بین فولیکولی گستردگی دارد. قابل توجه است.



تصویر ۴ - ساختار بافتی کامل رشد و تکامل یافته پلاک پی بر ایلثونی در رده سنی ۱۸ - ۶ ماهگی (X4, H & E). تعداد زیاد فولیکولهای لنفي کیسه‌ای شکل بزرگی که عمدها در زیر مخاط متراکز شده‌اند و همچنین بافت همبند فضای بین فولیکولی و عدم گسترش بافت لنفوئیدی فولیکولها به لایه پارین قابل توجه است.



تصویر ۳ - ساختار بافتی پلاک پی بر تهی رودهای در رده سنی ۴ - ۳ سالگی (X4, H & E). در بافت لنفوئیدی پلاک در این سن نیز هیچ‌گونه تغییر ساختاری مشاهده نمی‌گردد.



تصویر ۶ - ساختار بافتی پلاک پی بر ایلثونی در رده سنی ۴ - ۳ سالگی (X4, H & E). وجود فقط چند فولیکولی لنفي کوچک و پراکنده، نشانگر تحلیل وسیع این پلاک در این سن می‌باشد.



تصویر ۵ - ساختار بافتی پلاک ایلثونی گاویش در رده سنی ۳ - ۲ سالگی (x3.2, H & E). کاهش تعداد و ابعاد فولیکول لنفي این پلاک با افزایش سن قابل توجه است.



باقی مانده و افزایشی را نشان نمی‌دهند.

Reynolds و همکاران (۱۹۸۹) بیان نمودند که در برخه‌ها پلاکهای پی‌بر تهی روده‌ای در تمام عمر بی‌هیچ کم و کاست به صورت فعل وجود دارند ولی پلاک پی‌بر ایلثونی که طولی حدود ۱۵۰ سانتی‌متر دارد. در سن بلوغ دچار تحلیل می‌گردد. بعلاوه طی آزمایشات ثابت نمود که تحلیل رفتن پلاک پی‌بر ایلثونی به خصوصیات ذاتی و وراثتی خود پلاک مرتبط است و ارتباطی به موقعیت و محل آن ندارد (۹).

ب - نتایج میکروسکوپیک: **Reynolds و همکاران (۱۹۸۳)** گزارش نمودند که در برخه‌ها پس از سن ۱۲ هفتگی پلاک پی‌بر ایلثونی دچار تحلیل شده و در سن ۱۸ ماهگی فقط چند فولیکول لنفي از آن باقی می‌ماند (۱۰). تحلیل این پلاک در گاویش از سن ۱۸ ماهگی آغاز گردیده و در مطالعات میکروسکوپیک فقط چند فولیکول لنفي کوچک و کاملاً پراکنده از پلاک پی‌بر ایلثونی در رده سنی ۴ - ۳ سالگی مشاهده گردید.

Pabst و همکاران (۱۹۸۸) بیان نمودند که افزایش طول هر دو نوع پلاک پی‌بر در توله خوکها در مراحل اولیه پس از تولد به دلیل افزایش تعداد و ابعاد فولیکولهای است (۸). در مطالعه حاضر نیز این فرضیه به نحو دیگری مشخص گردید بدین معنا که از سن ۱۸ ماهگی به طرف سن ۴ - ۳ سالگی کاهش طول و ابعاد پلاک ایلثونی همراه با کاهش قابل توجه در تعداد و قطر طولی فولیکولها می‌باشد.

Zabobonin (۱۹۹۰) گزارش نموده است که فولیکولهای لنفي که ساختار بافتی پلاکهای پی‌بر را تشکیل می‌دهند. در نوزادان ۲۱ درصد، در افراد ۳ - ۱ ساله، ۵۰ درصد و در افراد مسن، ۸/۳ درصد از پارانشیم پلاکهای را تشکیل می‌دهند، که نشانگر حداکثر تعداد فولیکولهای لنفي در سن ۳ - ۱ سالگی و کاهش قابل توجه آنها در سنین بالا می‌باشد. بعلاوه قطر طولی فولیکولهای لنفي در افراد بالغ و میانسال و مسن حدود ۲ برابر کمتر از سن ۱۲ - ۳ سالگی است (۱۴). کاهش تعداد و قطر طولی فولیکولها در پلاکهای پی‌بر گاویش نیز ممید این نظریه است که با افزایش سن، تعداد فولیکولهای لنفي کاهش می‌باشد.

Kawanishi و همکاران (۱۹۸۹) گزارش نمودند که با افزایش سن، تعداد لنفوسيت‌ها (بخصوص لنفوسيت T) کاهش می‌یابد (۶). که در ارتباط با تحلیل پلاکهای پی‌بر و کاهش فولیکولهای لنفي گاویش قابل توجه است.

Shepherd (۱۹۸۷) گزارش نموده است که در سلولهای ماکروفاز موجود در عمق پلاکهای پی‌بر نوزادان بالای سن ۶ ماه، رنگدانه‌های قهوه‌ای از جنس سیلیکون، آلومینیوم و گاهی تیتانیوم مشاهده می‌شود (۱۳). که مطالعه این رنگدانه‌ها در سلولهای ماکروفاز پلاکهای پی‌بر گاویش پیشنهاد می‌گردد.

منابع

۱. شیمی، ا. اصول ایمنی دامپزشکی، تألیف ایان تیزارد، انتشارات سازمان دامپزشکی، صفحات: ۱۲۴ - ۱۲۳ - (۱۳۷۰).
2. Banks W. J. Applied Veterinary Histology. 3 rd. ed. Philadelphia. PP : 275 - 277, (1992).
3. Dyce K. M., Sack W. O. and Wensing C. J. A Text Book of Veterinary Anatomy, Saunders. PP : 126, 645 - 650, (1995).
4. Frandson R. D. Anatomy and physiology of Farm Animal. Lea and Febiger. Philadelphia. 2nd ed. PP : 319 - 324 , 445 - 447 (1986).
5. Inoue, T. and Sugi Y. Gut associated Lymphoid tissues of piglet. Bulletin of the Faculty of Agriculture, Yamaguti, University, No. 29, 21 - 30 ; 15 (1978).
6. Kawanishi H. and Kiely J. Immune - related alterations in aged gut associated Lymphoid tissues in mice. Dig. Dis. Sci. 1989. Feb., 34 (2) : 175 - 84, (1989).
7. Landsverk, T, Halleraker M, Aleksandersen, M. McClur S., Hein W and Nicander L. The intestinal habitat for organized lymphoid tissues in ruminants, comparative aspects of structure, function and development. Veterinary Immunology and Immunopathology 28 : 1 - 16 , (1991).
8. Pabst, R., Geist M., Rothkotter H. J. and Fritz F. J. Postnatal

به نحوی که در سن ۲۴ ماهگی تشخیص ماکروسکوپیک پلاک فقط براساس چینهای باقیمانده در سطح مخاط ایلکون امکانپذیر بود. در سن ۲/۵ سالگی این پلاک در مشاهدات ماکروسکوپیک قابل تشخیص نبوده و در مشاهدات میکروسکوپیک از تعداد کمی فولیکول لنفي کوچکی تشکیل شده است (تصویر ۵) و سرانجام در رده سنی ۴ - ۳ سالگی این پلاک کاملاً دچار تحلیل شده و در مشاهدات ماکروسکوپیک اثری از آن مشاهده نمی‌شود و در مشاهدات میکروسکوپیک فقط چند فولیکول لنفي پراکنده از آن باقیمانده است (تصویر ۶).

بحث

الف - نتایج ماکروسکوپیک: **Reynolds و همکاران (۱۹۸۳)** نیز پلاکهای پی‌بر تهی روده‌ای را در تهی روده و قسمت قدامی ایلکون گوسفند گزارش نمودند، همچنین بیان کرده‌اند که پلاک پی‌بر ایلثونی پس از ۱۲ هفتگی شروع به تحلیل کرده و در سن ۱۸ ماهگی فقط چند فولیکول از آن باقی می‌ماند (۹). که در مقایسه با نتایج بدست آمده از این تحقیق می‌توان چنین بیان نمود که تحلیل پلاک پی‌بر ایلثونی در گاویش نسبت به گوسفند در سنین بالاتر رخ می‌دهد.

Pabst و همکاران (۱۹۸۸) در توله خوکها، نشان دادند که پلاکهای پی‌بر منقطع تهی روده‌ای علاوه بر تهی روده در قسمت قدامی ایلکون هم وجود دارند و تعداد آنها ثابت و در حدود ۱۵ عدد می‌باشدند. ولی پلاک پی‌بر ایلثونی در قسمت انتهایی ایلکون قرار داشته و پس از تولد دچار تحلیل می‌شود (۸). که این نتایج بسیار مشابه نتایج تحقیق حاضر می‌باشد با این تفاوت که تعداد پلاکهای پی‌بر تهی روده‌ای در گاویش اندکی بیشتر می‌باشد.

Inoue و همکاران (۱۹۷۸) گزارش نمودند که تعداد پلاکهای پی‌بر تهی روده‌ای در توله خوکها تا سن ۶ هفتگی افزایش یافته و پس از آن ثابت باقی می‌مانند. ولی پس از سن ۶ هفتگی پلاک پی‌بر ایلثونی دچار تحلیل می‌شود (۵). که نتایج این تحقیق بیانگر این است که تحلیل پلاک پی‌بر ایلثونی گاویش در مقایسه با خوک نیز در سنین بالاتر رخ می‌دهد.

Rothkotter و همکاران (۱۹۸۹) بیان نمودند که تمام پلاکهای پی‌بر توله خوکها در سنین ۲ و ۱۲ ماهگی طول مشابهی دارند (۱۲).

Rothkotter و همکاران (۱۹۹۰) گزارش نمودند که هیچ‌گونه رشد جباری در پلاکهای پی‌بر تهی روده‌ای توله خوکهایی که پلاک ایلثونی آنها برداشت شده است، رخ نمی‌دهد (۱۱). این امر می‌تواند توجیه قابل قبولی برای این موضوع باشد که در سنین بالای ۲/۵ سالگی در گاویش، علی‌رغم تحلیل پلاک پی‌بر ایلثونی، تعداد و مساحت پلاکهای پی‌بر منقطع تهی روده‌ای همچنان ثابت



- development and lymphocyte production of Jejunal and ileal peyer's patches in normal and gnotobiotic pigs. Immunology J. 1989 Feb., 308 - 11, (1988).
9. Reynolds J. D. and Kirk D. two types of sheep peyer's patches : Location along gut does not influence involution. Immunology, J. 66 (2) : 308 - 11, (1989).
10. Reynolds, J. D. and Morris B. The evolution and involution of peyer's patches in fetal and postnatal sheep. European Journal of Immunology 13 : 8 , 627 - 635, (1983).
11. Rothkotter H. J. Zimmermann H. J. and Pabst R. Size of Jejunal peyre's patch. Scand J. Immunol, Feb. 31 (2) : 191 - 7, (1990).
12. Rothkotter H. J. and Pabst R. Lymphocyte subsets in jejunal and ileal peyer's patch of normal and gnotobiotic minipigs. Immunology, J. 67 : 1 : 103 , 108 , 28, (1989).
13. Shepherd N. A. Crocker P. R., Smith A. P. and Levison D. A. Exogenous pigment in peyer's patches, Hum. Pathol. Jan. 18 (1) : 50 - 4 , (1987).
14. Zabobonin A. I. Microscopic anatomy of small intestinal lymphoid patches in children and adults. Arkh. Anat. Gistol. Ernbro. Aug. 99 (8) : 64 - 9, (1990).

Macroscopic and microscopic study of structure and involution of Buffalo jejunal and ileal Peyer's patches

Alboghobiesh, N.¹ , Porkar - Nestody, R.²

¹*Department of Anatomy and Histology, Faculty of Veterinary Medicine, Shahid Chamran University Ahvaz, Ahvaz - Iran.*
²*Graduated from the Faculty of Veterinary Medicine, Shahid Chamran University Ahvaz, Ahvaz - Iran.*

The macroscopic studies showed that buffalo small intestine contain two types of peyer's patches ie. discrete peyer's patches in the total lenght of Jejunum - ileum (JPP) and a single continuous ileal peyer's patche in the terminal part of ileum (IPP). The JPP have elliptical shapes and were scattered on mucosal surface of jejunum - ileum. The number of JPP in the cranial part were more than terminal part ($P < 0.05$). The area of JPP in the terminal part of jejunum - ileum in 3 - 4 years old were more than 6 - 24 months old ($P < 0.05$). The ileal peyer's patche was well developed in 6 - 18 months old and after this age, the regression was started, as in macroscopic observations only a few folds were seen in 24 months old and there was no evidence of ileal peyer's patche in 2.5 years old. The microscopic studies showed that the JPP consisted of pear shape follicles which mainly had placed in submucosa and some of them

had extended to the lamina propria. The interfollicular space were occupy by diffuse lymphoid tissue, There were not seen any regression in the follicles of the JPP in different ages. The IPP consisted of long - sac shape follicles which mainly had placed in submucosa and they rarely penetrated to the lamina propria. The more intersting finding was the regression of IPP, as the number and size of follicles were decreased by age. This regression was more significant in 3 - 4 years old buffalo as only a few dispersed follicles were seen in this age.

Key words : Jejunal and ileal peyer's patches, Buffalo.

